

실리카 被着이 鐵粉末의 粒子形態 및 磁氣特性에 미치는 影響 (第2報)

吳 在熙·金鍾植·柳炳煥
仁荷大學校 工科大學 無機材料工學科
(1985年 11月 1日 接受)

Effect of Silica Coating on Particle Shape and Magnetic Properties of Iron Powder (II)

Jae-Hee Oh, Chong-Sik Kim and Beyong-Hwan Ryu
Dept. of Ceramic Eng., College of Eng., Inha Univ.
(Received 1 November, 1985)

ABSTRACT

The effect of dehydration temperature on the reduction process of silica-coated hematite was investigated. The particle shape and magnetic properties of the products reduced from hematite at various conditions and the oxidation resistance of silica-coated iron powder were examined.

It was revealed that single phase iron powder obtained over 450°C had good magnetic properties. The iron powder manufactured between 450°C and 500°C displayed the maximum coercive force as a result of maintaining its acicular shape. However, the coercive force of iron powder reduced over 500°C was decreased. The oxidation resistance of silica-coated iron powder in air was very good up to 110°C and for 12 days.

1. 緒論

磁氣記錄用 鐵粉末은 強磁性體로서 針狀酸化鐵等의 페라이트系 記錄媒體에 비하여 높은 磁束密度 및 高保磁力を 가지고 있으며, 錄音 및 錄畫用 테이프 등의 高密度磁氣記錄媒體로서 活用度가 높아지고 있다.¹⁻⁶.

鐵粉末의 製造方法은 热分解法⁷, 蒸發法⁷, 還元剤法⁸⁻¹⁰, 氣相還元法¹¹⁻¹⁵으로 大別할 수 있다. 이들 중 氣相還元法은 針狀 goethite ($\alpha\text{-FeOOH}$)를 脱水하여 hematite ($\alpha\text{-Fe}_2\text{O}_3$)를 만든 후 이 粉末을 還元하여 鐵粉末을 製造하는 方法으로서 蒸發法이나 還元製法에 비하여 量產性, 經濟性 등의 면에서 잇점이 있다. 鐵粉末은 일搬 酸化物과는 달리 酸化

에 대한 安定性의 缺如로 取扱할 때 發火等의 위험성이 있으며 酸化에 의하여 生成한 $\alpha\text{-Fe}_2\text{O}_3$ 는 磁氣特性에 나쁜 影響을 미친다. 그러므로 鐵粉末이 酸化되지 않도록 粒子表面에 薄은 酸化鐵의 膜이나 無機物의 膜을 生成시킬 필요가 있다.^{6, 11}.

본 연구에서는 氣相還元法으로 鐵粉末을 製造하였으며, goethite의 脱水 및 還元過程에서 粒子間의 僥結防止와 針狀性유지, 酸化에 대한 安定性의 2 가지 효과를 동시에 얻기 위하여 鐵粉末의 粒子表面에 실리카被膜層을 형성시켰다. 第1報¹⁰에서와 같은 方法으로 製造한 실리카被着酸化鐵을 出發物質로 하여, 脱水溫度가 還元에 미치는 영향, 還元條件에 따른 粒子形態 및 磁氣特性 등의 物性變化, 温度 및 經時變化에 대한 실리카被着鐵粉末의 安定

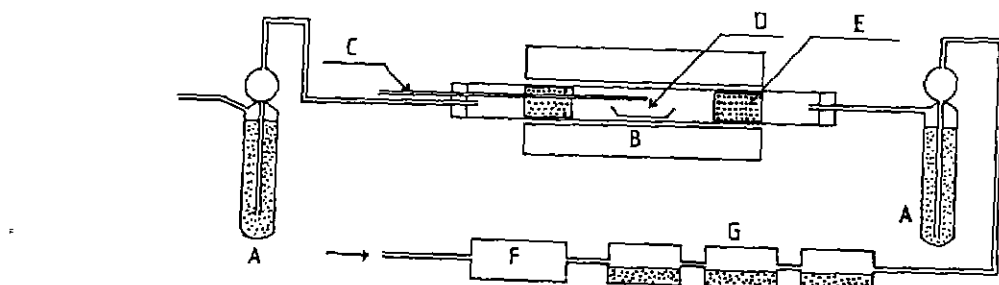


Fig. 1. Schematic diagram of reduction apparatus.

A : Liquid papaitin	C : Thermocouple	E : Shield	G : P_2O_5
B : Furnace	D : Alumina boat	F : Flowmeter	

性 등을 중점적으로 調査하였다.

2. 實驗方法

2.1 試料의 製造

실리카被着 goethite 및 hematite의 製造方法은 第 1 報^[6]와 同一하게 하였으며, 第 1 報^[6]의 研究結果로 부터 $SiO_2/\alpha\text{-FeOOH} = 1.5 w/o$ 인 실리카被着 goethite를 선택하여 이것을 500°C부터 900°C 까지의 온도범위에서 100°C 간격으로 脱水시켜 얻은 hematite를 本 研究의 出發物質로 선택하였다.

Hematite의 還元에 의한 鐵粉末의 製造는 Fig. 1 과 같은 還元裝置를 사용하였다. 투명한 석영관에 hematite의 粉末試料를 넣고 밀폐시킨 후 상온에서 H_2 가스를 통과시키면서 석영관 내의 공기를 완전히除去한 다음, 5°C/min으로 加熱하면서 100mL/min의 속도로 H_2 가스를 통과시켰다. 反應溫度는 300°C ~ 600°C의 範圍에서 50°C 간격으로 변화시켰으며 각 温度에서 反應維持時間은 0.25時間 ~ 3時間으로 변화시켰다. 反應이 끝나면 H_2 가스를 계속 통과시켜 상온까지 충분히 冷却시킨 후 試料를 꺼내었다. 공기 중에서 急冷시키면 불꽃을 發生하면서 急酸化하여 酸化鐵 ($\alpha\text{-Fe}_2O_3$)이 되기 때문에 우수한 磁氣特性을 기대할 수 없다. H_2 가스 중에 함유된 水分은 P_2O_5 를 사용하여 除去하였다. 還元이 진행되면 적색의 hematite는 magnetite를 거쳐 검은색의 鐵粉末로 된다.

2.2 測 定

각 脱水溫度에서 生成한 hematite의 還元反應이 시작되는 温度를 热重量分析으로 확인하였고 각 還

元溫度에서 生成한 物質의 相, 粒子形態 및 磁氣特性 등의 物性, 生成된 鐵粉末의 温度 및 經時變化에 대한 安定性은 热重量分析, X-線回折分析, 電子顯微鏡觀察(TEM), 磁氣特性測定으로 檢討하였다. 热重量分析器는 Du Pont 951, X-線回折分析 裝置는 Philips社의 PW 1710型 (CuK α), TEM은 Hitachi社의 H-600型, 磁氣特性測定裝置는 Riken Denshi社의 BHU-60型, B-H curve tracer 및 Toei Kogyo社의 VSM P-1 3077를 사용하였다. 磁氣特性을 测定할 때 充填密度는 약 0.5g/cm³이었고, 最大印加磁場은 5,000Oe 이었다.

3. 結果 및 考察

3.1 還元條件에 따른 物性變化

脫水溫度가 hematite의 還元에 미치는 영향을 調查하기 위하여, 실리카被着 goethite를 500°C부터 900°C範圍에서 100°C 간격으로 탈수한 각 hematite를 热重量分析器에서 H_2 가스를 통과시켜 공기를 제거한 후 계속 H_2 가스를 10mL/min로 통과시키면서 升溫速度 5°C/min로 상온에서 500°C까지 加熱하고 약 2時間 等溫을 維持하면서 還元始作溫度를 测定한結果를 Fig. 2에 나타내었다. 脱水溫度가 낮은 hematite일수록 還元始作溫度가 낮은 것을 알 수 있다.

Goethite를 脱水하여 hematite를 生成시킬 때 H_2O 가 離脱하고 粒子內의 氣孔이 남아있게 된다. 脱水溫度가 낮을수록 작은 크기의 氣孔이 무수히 殘存하게 되어 比表面積이 큰 粒子가 生成하지만 脱水溫度가 높아질수록 氣孔의 수는 감소하여 比表面積이 감소하며, 800°C의 脱水溫度에서는 粒子內의

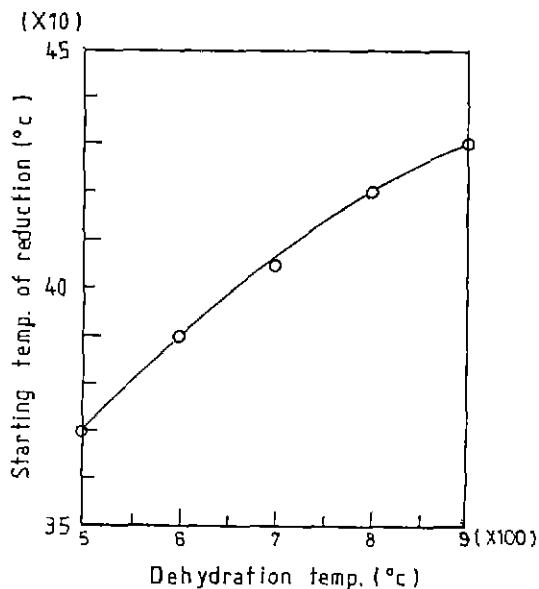


Fig. 2. Change of starting temperature of reduction for hematite dehydrated at various temperatures.

氣孔이 모두 消滅된 粒子가 生成함을 第1報¹⁶⁾에서 밝혔다. 이와같이 낮은 温度에서 製造한 hematite 일수록 比表面積이 큰 氣孔性粒子이면서 鐵原子가 平衡格子 위치에 놓이지 않는 不安定한 構造를 가지므로 格子缺陷이 많은 表面特性을 나타내기 때문에 Fig. 2의 결과처럼 還元始作溫度가 낮아진다고 생각된다. 還元率을 지배하는 因子¹²⁾로서는 觸媒, 自己觸媒, 不純物, 結晶構造, 粒子表面의 特性(格子缺陷 및 比表面積 등), 壓力, 温度 등이 있으며 酸化鐵粉末의 還元過程은 自己觸媒反應이다¹³⁾. Hematite($\alpha\text{-Fe}_2\text{O}_3$)가 magnetite(Fe_3O_4)로 還元될 때 우선 H_2 가스 粒子表面에 吸着되어 表面의 酸素이온이 除去된다. 이때 生成된 Fe^{2+} 이온은 hematite의 緊密六方結晶格子를 통과하기 어려우므로 magnetite와 유사한 非化學量論組成을 가진 스피넬構造를 形成하면서 結晶格子의 局所再配列을 가져온다. 특히, 出發 hematite가 빈 자리를 많이 가지고 있고 原子들이 平衡格子 위치에 존재하지 못하는 不安定한 構造를 가지면 結晶格子의 局所再配列은 쉽게 일어나고 불규칙적인 magnetite가 生成되며 양이온은 쉽게 移動할 수 있다. 表面에서 酸素除去에 의하여 Fe^{3+} 이온은 Fe^{2+} 이온으로 還元되고 Fe^{2+} 이온과

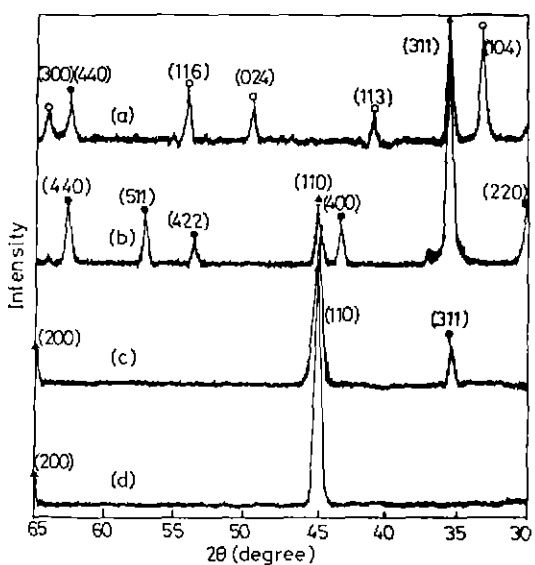


Fig. 3. X-ray diffraction patterns for sample reduced from hematite at various temperatures.
(a) 300°C (b) 350°C (c) 400°C (d) 450°C
○ ; Hematite, ● ; Magnetite, ▲ ; Iron

電子는 内部格子로 移動하고 빈자리는 밖으로 移動한다. 결국, 스피넬/hematite 界面이 形成되고 結晶粒子의 再配列은 계속되어 스피넬相은 계속 증가하면서 hematite는 모두 magnetite로 变한다¹⁴⁾. Magnetite가 계속還元ガス와 接触하면 反應溫度가 570°C 이하에서는 고온에서 安定相인 FeO 를 生成시키지 않고 바로 鐵($\alpha\text{-Fe}$)로 還元되며, 570°C 이상에서 還元시키면 FeO 가 生成한다고 보고되어 있다^{14, 15, 17)}.

실리카被着 goethite를 800°C에서 脱水시켜 얻은 실리카被着 hematite를 還元溫度 300°C부터 450°C範圍에서 50°C 간격으로 각각 2時間씩 H_2 가스中에서 還元하여 製造한 試料의 X-線回折分析 結果를 Fig. 3에 나타내었다. 350°C에서 還元된 試料는 magnetite가 主成分相을 이루고 있으나 鐵도 生成되었음을 알 수 있다. 400°C에서 生成된 試料는 鐵이 主成分相을 이루고 있으나 magnetite가 共存하고 있으며 450°C 이상의 温度에서 還元된 試料는 鐵粉末의 單一相이었다. 이를 結果로 부터 실리카被着 goethite를 높은 温度에서 脱水하여 製造한 hematite는 H_2 가스로 還元하여 鐵粉末를 製造할 때 450°C 이상의 비교적 높은 温度에서 反應시켜야 함

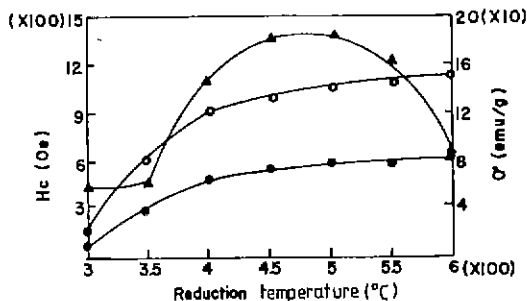


Fig. 4. Variation of magnetic properties of iron powder reduced from hematite for 2 hrs as a function of reduction temperature.
 \triangle ; H_c , ●; σ_r , ○; σ_m

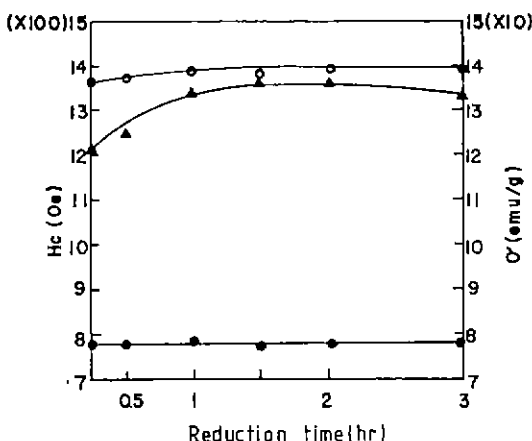


Fig. 5. Variation of magnetic properties of iron powder reduced from hematite as a function of reduction time at 500°C.
 \triangle ; H_c , ●; σ_r , ○; σ_m

을 알 수 있다.

800°C에서 脱水시켜 얻은 실리카被着 hematite를 還元温度 300°C 부터 600°C 範圍에서 50°C 간격으로 각각 2時間씩 H₂ 가스 중에서 還元하여 製造한 최종 生成物의 磁氣特性을 測定한 結果를 Fig. 4에 나타내었다. 300°C에서 還元시켜 生成한 試料의 磁氣特性은 아직 還元되지 않은 hematite의 存在(Fig. 3)로 인하여 아주 나쁜 特性을 나타내고 있다. 350°C에서 還元된 시료는 magnetite와 비슷한 磁氣特性을 나타내고 있으며 還元温度가 上승함에 따라 保磁力(H_c)은 점차 증가하여 450°C~500°C 範圍에서

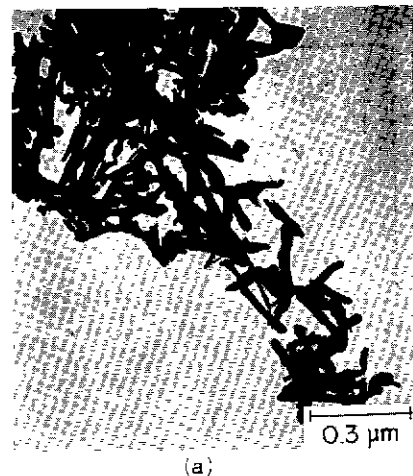


Fig. 6. Transmission electron micrograph of iron powder reduced from silica-coated hematite.
(a) 500°C, 1 hr (b) 500°C, 2 hrs

최대로 되고 그 이상의 温度에서 還元시킬 때는 保磁力(H_c)은 다시 감소하였다. 이것은 粒子의 針狀性이 崩壊됨에 起因한다고 생각된다. 한편, 還元温度가 上승함에 따라 粒子의 比表面積이 감소하여 磁化에 寄與하지 않는 表面層^[18,19]이 감소하기 때문에 残留磁化(σ_r)과 最大磁化(σ_m)는 증가하였다.

800°C에서 脱水시켜 얻은 실리카被着 hematite를 500°C의 還元温度에서 還元시간을 변화시키면서 製造한 鐵粉末의 磁氣特性을 測定한 結果를 Fig. 5에 나타내었다. 還元時間 1時間까지는 磁氣特性은 증가하고 있으나 그 이상의 還元時間에서는 거의 一

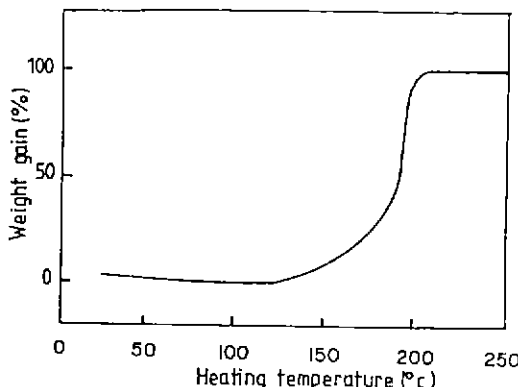


Fig. 7. Change in weight gain of iron powder against oxidation in heating process.

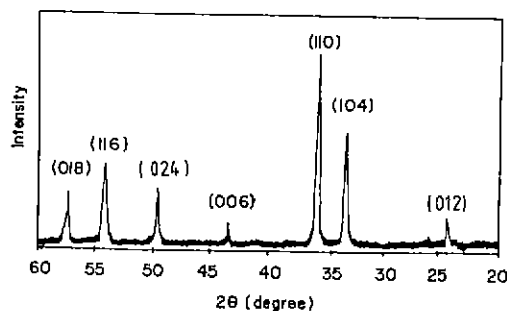


Fig. 8. X-ray diffraction pattern for hematite resulted from oxidation of iron powder.

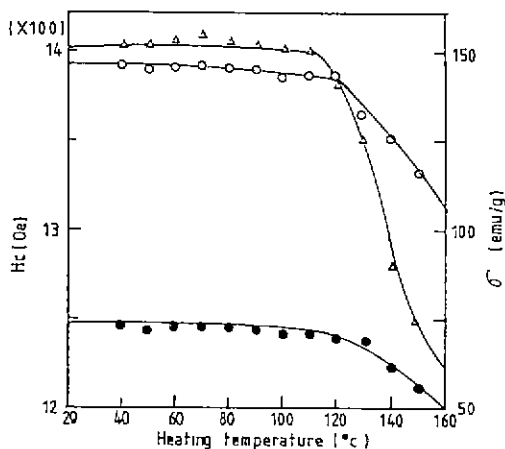


Fig. 9. Variation of magnetic properties of iron powder against oxidation as a function of heating temperature.

△ ; H_c , ● ; σ_r , ○ ; σ_m

定하였다.

還元溫度와 粒子形態와의 관계, 특히 針狀性의 維持關係를 檢討하기 위하여 生成된 鐵粉末의 粒子形態를 透過電子顯微鏡으로 觀察하고 그 結果를 Fig. 6에 나타내었다. 실리카被着 goethite를 800°C에서 1時間 동안 脱水하여 生成된 hematite를 500°C에서 還元시켜 製造한 鐵粉末의 粒子形態는 針狀粒子임을 알 수 있다. 이들 粉末의 磁氣特性을 測定한結果, Fig. 6(a)의 試料는 H_c (coercive force) : 1.325 Oe, σ_m (maximum magnetization) : 139 emu/g, R_s (σ_r/σ_m) : 0.56, (b)의 試料는 H_c : 1.350 Oe, σ_m : 139 emu/g, R_s : 0.56으로서 磁氣特性이 우수하였으며, 이것은 針狀이 維持됨에 따른 形狀磁氣異方性의 效果때문이라고 생각된다.

3.2 鐵粉末의 安定性

製造된 실리카被着鐵粉末의 安定性을 시험하기 위하여, 800°C에서 脱水하여 얻은 실리카被着 hematite를 500°C, 1hr還元시켜 製造한 鐵粉末를 2°C/min의 升溫速度로 空氣中에서 加熱하여 酸化物이 生成되는 温度와 무게의 증가를 觀察하고 그 結果를 Fig. 7에 나타내었으며 加熱溫度 200°C에서 생성한 試料의 X-線回折分析結果를 Fig. 8에 나타내었다. Fig. 7의 熱重量分析結果를 보면 110°C부터 酸化에 의해 무게증가가 일어나며, 200°C부터는 무게증가가 없고 일정한 것으로 보아 酸化가 완료된 것으로 생각된다. Fig. 8의 X-線回折分析結果를 보면 加熱溫度 200°C에서는 $\alpha\text{-Fe}_2\text{O}_3$ 單一相이 生成함을 알 수 있다. 이들 結果로 부터 실리카被着鐵粉末은 승온속도 2°C/min로 하여 공기중에서 가열하였을 때 약 110°C에서 부터 酸化되기 시작하여 약 200°C에서는 $\alpha\text{-Fe}_2\text{O}_3$ 로 완전히 酸化되었음을 알 수 있었다. 이 때 VSM으로 鐵粉末의 磁氣特性을 測定한結果를 Fig. 9에 나타내었다. 110°C까지는 磁氣特性의 變化가 거의 없었으며 110°C 이상에서는 급격히 감소함을 알 수 있었고, 이것은 熱重量分析(Fig. 7)과 X-線回折分析結果(Fig. 8)와 一致하였다. 이상의 結果, 실리카被着鐵粉末을 공기중에서 升溫速度 2°C/min로 가열하였을 경우 상온에서부터 110°C까지는 磁氣特性이 일정하며 安定함을 알 수 있었다.

生成된 실리카被着鐵粉末을 상온에서 공기중에 노출시킨 후 經時變化를 測定하고 그 結果를 Fig. 10

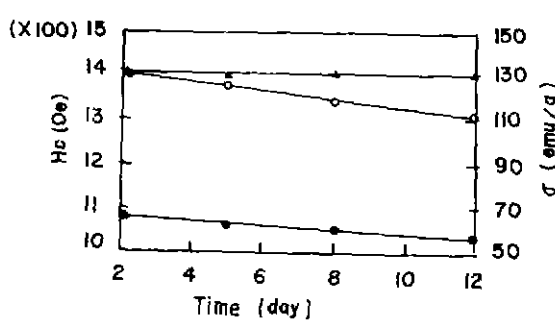


Fig. 10. Variation of magnetic properties of iron powder against oxidation as a function of time.
 \triangle ; H_c , ●; σ_r , ○; σ_m

에 나타내었다. 保磁力(H_c)은 鐵粉末을 空氣中에 노출시킨 후 12日이 經過하였을 때에도 거의 一定하였고 殘留磁化(σ_r)와 最大磁化(σ_m)가 약간 감소하였으나 매우 높은 磁氣特性이 維持되었다. 이것으로 보아 經時變化에 대한 安定性도 매우 좋음을 알 수 있었다.

出發物質 goethite 表面에 실리카被膜層을 形成시키면 높은 温度에서 脱水하여 結晶性이 좋고 粒子內의 氣孔이 消滅되어 粒子間 塗結이 일어나지 않는 針狀의 hematite 粒子를 生成시킬 수 있다. 이것을 還元시켜 製造한 鐵粉末은 針狀性이 維持될 뿐만 아니라 温度 및 經時變化에 대한 安定性을 갖게 되었다. 또한, 이 鐵粉末은 테이프에 塗布될 때 有機物 結合劑로 다시 被膜이 形成되므로 더욱 安定化가 이루어져 高密度磁氣記錄材料로서 適當하다고 판단된다.

4. 結論

1. 실리카被着 hematite의 還元은 비교적 높은 温度에서 進行되어 450°C 이상에서 鐵粉末의 單一相을 나타내며, 450°C부터 500°C의 還元溫度範圍에서 磁氣特性이 우수한 針狀의 鐵粉末이 生成되었다. 450°C 이하의 還元溫度에서는 未還元物質로 인하여 磁氣特性이 낮았으며, 500°C 이상의 還元溫度에서는 磁化(σ_r , σ_m)는 一定하였으나 保磁力(H_c)만이 감소하였다.

2. 還元時間은 500°C에서 1~2時間으로 維持하

였을 때 우수한 磁氣特性을 가진 針狀粒子가 生成되었으며, 3時間 維持하였을 때에는 磁化는 一定하고 保磁力만 약간 감소하였다.

3. 실리카被着 鐵粉末은 空氣中에서 升溫速度 2°C/min로 加熱하였을 경우 상온에서부터 110°C 까지는 磁氣特性이 일정하였고 그 이상의 温度에서는 감소하였다. 鐵粉末을 空氣中에 노출시킨 후 12日이 經過했을 때의 磁氣特性은 磁化가 약간 감소하였으나 保磁力은 변하지 않고 一定하였다. 이것으로 보아 温度 및 經時變化에 대한 실리카被着 鐵粉末의 安定性이 우수함을 알 수 있었다.

参考文献

1. G. Bate, "A Survey of Recent Advances in Magnetic Recording Materials", *IEEE Trans. Mag.*, **Mag-14**(4), 136(1978)
2. G. Bate, "The Present and Future of Magnetic Recording Media", p. 509, Ferrites Proceedings of the ICF3 Ed. by Hiroshi Watanabe et al, Center for Academic Pub., Tokyo(1980)
3. G. Bate, "Recent Developments in Magnetic Recording Materials", *J. Appl. Phys.*, **53**(3), 2447(1981)
4. A. R. Corradi, "A New Generation of Single Particle Materials for Tape and Discs Manufacturing; Preparation, Properties and Application", *J. Magn. Mag. Mat.*, **7**, 299(1978)
5. N. Tamagawa and R. Chubachi, "高密度メモリ技術と材料", p. 17, シーエムシー(1984)
6. H. Sugihara and Y. Imaoka, "Technical Trends in Tape Recording Fine Particles. A Short Review", *Ind. Eng. Chem. Prod. Res. Dev.*, **23**, 330(1984)
7. W. C. Landgraf and P. Alto, "Preparation of Oxalate Magnetic Particles", U.S. Patent, 3, 190, 748(1965)
8. A. Tasaki, "Metal Tape Using Ultra Fine Powder Prepared by Gas Evaporation Method", *IEEE Trans. Mag.*, **Mag-15**(6), 1540(1979)
9. A. Watanabe and Y. Imaoka, "Fine Metal Particles Having Super High Coercivity", *ibid.*, **Mag-17**(4), 1455(1981)

10. A. Watanabe and Y. Imaoka, "Surface Structure of Fine Particle with Super High Coercivity", *J. Mag. Mag. Mat.*, **12**, 31 (1983)
11. 稲本順義, "テープ用磁性鉄粉の開発-磁性材料開発への化学工学の應用-", 化学工学, **48**(6), 428 (1984)
12. T. P. Prasad and B. R. Sant, "Dry Reduction of Powdery Oxides", *J. Scient. Ind. Res.*, **30**, 538 (1971)
13. 井本立也, 森山昭, "酸化鉄小粒の水素による還元反応", 工業化学雑誌, **66**(10), 1407 (1963)
14. U. Colombo and G. Lanzavecchia, "Mechanism of Iron Oxides Reduction at Temperatures Below 400°C", *Mater. Sci. Eng.*, **2**, 125 (1967)
15. J. M. Quets, J. R. Lewis, "Kinetics of Reduction of Magnetite to Iron and Wustite in H₂-H₂O Vapor Mixtures", *Trans. Met. Soc. AIME*, **221** 1186 (1961)
16. 吳在熙, 金鍾植, 柳炳煥, "실리카被着의 鐵粉末의 粒子形態 및 磁氣特性에 미치는 影響(第1報)", 韓國窯業学会誌, **22**(6), 21 (1985)
17. 佐山 吾, "新製鐵法への基礎研究(I)-流通式高圧DTA装置の新たな使用法による粉鉄鉱石の水素還元-", p. 39, 熱分析実験技術入門, 真空理工株式会社編集, 科學技術社(1980)
18. 比本達治, "高密度記録の鍵を握る磁性超微粒子", 日本科學と技術, **25**(227), 70 (1984)
19. 岡本祥一, "スピネルの磁氣化學", p. 155, セラミックス化學, セラミックス編集委員會 講座小委員會(1982)